

УДК 551.463.5:535.36

## СРЕДНИЕ ХАРАКТЕРИСТИКИ ЛАЗЕРНОГО ИЗЛУЧЕНИЯ, ПРОШЕДШЕГО ЧЕРЕЗ РАЗОРВАННУЮ ОБЛАЧНОСТЬ

М. М. Крекова, Г. А. Титов

Исследовано распространение лазерного излучения в разорванной облачности как стохастически макроинодородной рассеивающей среде. На примере модельной задачи показано, что в случае больших оптических толщин и малых расстояний между облаками радиационное взаимодействие облаков вызывает качественные изменения во временной структуре сигнала: появление локального максимума и увеличение мощности на заднем фронте импульса. Установлено, что неучт конечных горизонтальных размеров кучевых облаков приводит к большим ошибкам при определении средней энергии и мощности прошедшего лазерного излучения.

Импульсные сигналы от оптических квантовых генераторов используются в системах локации, передачи информации и т. д. При создании подобных систем необходимо знать искажающее влияние атмосферы, в том числе и разорванной облачности, на характеристики переносимого узкого светового пучка. Разорванная облачность — это облачное поле со случайной геометрией (количество, размеры, форма и положение в пространстве облаков) и детерминированными оптическими параметрами внутри отдельного облака. Стохастичность облачного поля обуславливает необходимость статистического описания переноса излучения, в рамках которого устанавливается взаимосвязь между статистическими характеристиками полей облачности и радиации.

Наиболее перспективным, на наш взгляд, представляется подход, основанный на выводе из стохастического уравнения переноса замкнутых уравнений для статистических характеристик излучения. Такие уравнения для средней интенсивности получены в марковском приближении как в стационарной [1], так и в нестационарной [2] задачах. Показана справедливость уравнений в моделях разорванной облачности, построенных на основе пуассоновских ансамблей точек в пространстве [3] и на прямых [4]; разработан алгоритм вычисления методом Монте-Карло линейных функционалов от средней интенсивности [5]. В данной работе исследуется средняя энергия и мощность рассеянного лазерного излучения, пропущенного разорванной облачностью.

**Модель и метод решения.** Пусть подстилающая поверхность (плоскость  $z=0$ ) имеет нулевое альбедо, что приблизительно соответствует альбедо океана. На высоте  $h$  находится облачный слой  $\Lambda$ :  $h \ll z \ll H$ , в пределах которого индикаторика рассеяния  $g(\omega\omega')x(r)$ , коэффициенты ослабления  $\sigma_x(r)$  и рассеяния  $\sigma_{sx}(r)$  являются случайными скалярными полями,

$$x(r) = \begin{cases} 1, & r \in G \\ 0, & r \notin G \end{cases}, \quad (1)$$

$G$  — случайное множество точек в  $\Lambda$ , в которых присутствует облачное вещество, вне  $\Lambda$   $\sigma = \sigma_s = 0$ . Поскольку коэффициенты молекулярного и аэрозольного рассеяния много меньше соответствующих параметров облаков, то при умеренных и больших баллах облачности  $N$  можно учитывать только взаимодействие излучения с облаками.

Одной из возможных моделей  $\kappa(r)$  является модель на основе пуассоновских потоков точек на прямых [4], которая более или менее правдоподобно описывает основные параметры реального облачного поля.

В этой модели  $\langle \kappa(r) \rangle = p$  — безусловная, а  $V(r_1, r_2) = P[\kappa(r_1) = 1/\kappa(r_2) = 1]$  — условная вероятности наличия облаков. Последняя вероятность определяется как

$$V(r_1, r_2) = (1 - p) \exp[-A(\omega)|r_1 - r_2|] + p, \quad (1')$$

где  $\omega = (\omega_1, \omega_2, \omega_3) = (r_1 - r_2)/|r_1 - r_2|$ ,  $A(\omega) = |\omega_1|A_x + |\omega_2|A_y + |\omega_3|A_z$ ,  $A_x, A_y$  и  $A_z$  — параметры пуассоновского распределения (среднее число точек, приходящихся на единицу длины). Балл облачности рассчитывается по формуле

$$N = 1 - (1 - p) \exp(-pA_z\Delta H), \quad (2)$$

$\Delta H = H - h$ . При  $A_x = A_y = A_z = A$  справедлива формула

$$A = [1,65(N - 0,5)^2 + 1,04]/D, \quad (3)$$

связывающая среднее число точек  $A$  с экспериментально определяемым баллом облачности  $N$  и средним горизонтальным размером облаков  $D$ .

Пусть в точке  $(0, 0, H_0)$ ,  $H_0 > H$ , находится источник, оптическая ось которого ориентирована в надир. Источник излучает  $\delta$ -импульс изотропно в пределах угла  $\varphi_t$ , приемник с угловой апертурой  $\varphi_d$  и ориентированной в зенит оптической осью находится в точке  $(x, 0, 0)$ . На верхнюю границу слоя  $\Lambda$  падает излучение с интенсивностью  $I_H = I_H(r, \omega, t)\delta(z - H)\delta(t - (z - H)/c\omega_3)$ , равной нулю за пределами пятна диаметром  $d = (H_0 - H)\operatorname{tg}\varphi_t$ ,  $c$  — скорость света.

При  $\gamma = \Delta H/D \rightarrow 0$  справедлива асимптотическая формула

$$\lim_{\gamma \rightarrow 0} \langle I(r, \omega, t) \rangle = pI_1(r, \omega, t), \quad (4)$$

где  $I_1(r, \omega, t) = \langle I(r, \omega, t) \rangle|_{p=1}$  — интенсивность рассеянного излучения в плоскопараллельном однородном облачном слое. В [2] показано, что данное соотношение можно использовать при оценке  $\langle I(r, \omega, t) \rangle$  в слоистых облаках ( $\gamma \leq 10^{-2}$ ), частично покрывающих небосвод.

Ниже приведены результаты расчетов средней мощности

$$\langle P(x, t) \rangle = \int_{2\pi}^1 \int_{\cos\varphi_d}^1 |\omega_3| \langle I(x, 0, 0, \omega, t) \rangle d\omega$$

и энергии

$$\langle E(x) \rangle = \int_0^\infty \langle P(x, t) \rangle dt$$

рассеянного пропущенного излучения в предположении, что интенсивность источника равна единице. Средняя интенсивность нерассеянного света вычисляется по достаточно простым формулам, поэтому здесь не рассматривается. Расчеты выполнены при  $\varphi_t = 10^{-4}$  рад,  $\varphi_d = 30'; 1; 2; 3; 5; 10; 30^\circ$ ,  $h = 0,5$  км,  $\Delta H = 0,5$  км,  $H_0 = 300$  км,  $A_z = 0$  и, согласно (5),  $p = N$ ,  $x = 0$ ; другие значения  $H_0$ ,  $A_z$  и  $x$  специально отмечаются в тексте. Индикаторика рассеяния соответствует длине волны 0,53 мкм и облаку C1 [6].

**Средняя энергия.** Из-за горизонтальной неоднородности граничных условий (в плоскости  $z = H$  источник освещает пятно диаметра  $d$ )  $\langle I(r, \omega, t) \rangle$  при заданном  $z \in [h, H]$  быстро убывает, начиная с некоторого расстояния от оси пучка, что является основной причиной слабой изменчивости величины средней энергии при больших  $\varphi_d$  (рис. 1).

Наибольшая чувствительность средней энергии к вариациям поля зрения приемника наблюдается при относительно небольших значениях  $\varphi_d$ . Основная часть энергии заключена в пределах телесного угла приемника с  $\varphi_d = \arctg d/h$ , когда поле зрения почти полностью перекрывает освещенный (без рассеяния) источником объем в среде:  $\varphi_d \approx 30^\circ$  при  $H_0 = 300$  км и  $\varphi_d \approx 9^\circ$  при  $H_0 = 800$  км. С возрастанием коэффициента ослабления от 20 до  $40 \text{ км}^{-1}$  увеличивается доля энергии, выбывающей из пучка за счет рассеяния, а с увеличением расстояния от источника до облачного слоя уменьшается как  $1/(H_0 - H)^2$  освещенность верхней границы облаков, что приводит к уменьшению в несколько раз средней энергии, регистрируемой приемником (кривые 3, 6 и 3, 7).

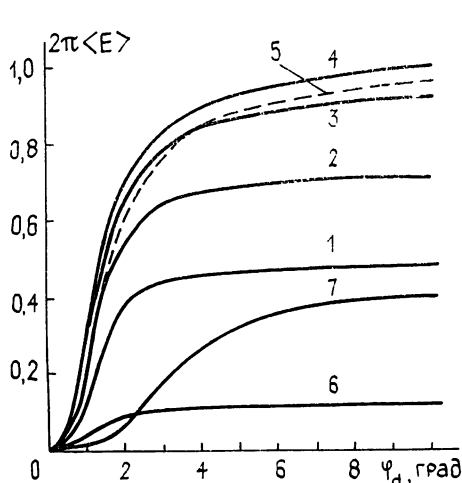


Рис. 1.

Рис. 1. Зависимость средней энергии  $\langle E \rangle$  рассеянного излучения от угловых размеров детектора при различных баллах облачности  $N$ .

Кривые 1—5 рассчитаны для  $N = 0,3, 0,5, 0,7; 0,85$  и 1 соответственно,  $\sigma = 20 \text{ км}^{-1}$ ,  $H_0 = 300$  км; 6 — для  $\sigma = 40 \text{ км}^{-1}$ ,  $N = 0,7$ ,  $H_0 = 300$  км; 7 — для  $\sigma = 20 \text{ км}^{-1}$ ,  $N = 0,7$  и  $H_0 = 800$  км.

Рис. 2. Изменение средней энергии  $\langle E \rangle$  в зависимости от балла облачности  $N$ , коэффициента ослабления  $\sigma$  и типа облаков в различных углах приема  $\varphi_d$ . Сплошные кривые — Cu, пунктир — st.

Кривые 1—5 слева — расчет при  $\sigma = 20 \text{ км}^{-1}$  и углах  $\varphi_d = 30^\circ, 1; 2; 5$  и  $30^\circ$  соответственно; справа при  $\sigma = 40 \text{ км}^{-1}$  и углах  $\varphi_d = 3, 5; 10$  и  $30^\circ$ , соответствующих кривым 1—4.

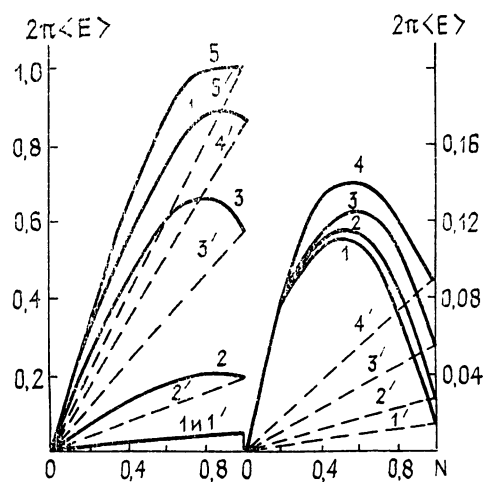


Рис. 2.

На рис. 2 представлена зависимость средней энергии от балла облачности  $N$ , коэффициента ослабления  $\sigma$ , угловой апертуры  $\varphi_d$  и типа облаков — кучевые ( $0,5 < \gamma < 2$ ) или слоистые ( $\gamma < 10^{-2}$ ). При одинаковых параметрах задачи средняя энергия  $\langle E \rangle_{\text{Cu}}$ , рассеянная кучевой облачностью, всегда превосходит  $\langle E \rangle_{\text{st}}$  в случае слоистых облаков, т. е.  $\langle E \rangle_{\text{Cu}} > \langle E \rangle_{\text{st}}$  и неравенство усиливается с возрастанием оптической плотности среды. При  $\sigma = 40 \text{ км}^{-1}$  и средних значениях  $N$   $\langle E \rangle_{\text{Cu}}$  может быть больше  $\langle E \rangle_{\text{st}}$  почти в 10 раз. Эти различия связаны с относительно большой ролью в формировании среднего поля радиации излучения, выходящего через боковые стороны отдельных кучевых облаков. Такое излучение испытывает в среднем меньше актов рассеяния, чем выходящее через основание, и из-за сильной вытянутости вперед индикаторы рассеяния дают основной вклад в пропускание, поэтому кучевая облачность пропускает в среднем больше, чем слоистая. С ростом  $N \geq 0,7$  увеличивается средний горизонтальный размер кучевых облаков, в том числе и за счет возрастания вероятности образования облачных групп, а среднее расстояние между облаками уменьшается. Поэтому в среднем уменьшается доля «искаженного» боковыми сторо-

нами излучения, увеличивающаяся часть которого может многократно рассеиваться между облаками (радиационное взаимодействие облаков), что приводит к уменьшению различий между  $\langle E \rangle_{\text{Cu}}$  и  $\langle E \rangle_{\text{st}}$  при больших  $N$ . Следует отметить, что зависимость  $\langle E \rangle_{\text{Cu}}$  от  $N$  нелинейна и немонотонна, особенно при больших оптических толщинах облаков. Из простых физических соображений ясно, что с возрастанием оптической толщины энергия рассеянного излучения сначала увеличивается, а затем монотонно убывает, чем и объясняется немонотонная зависимость  $\langle E \rangle_{\text{Cu}}$  от  $N$ .

При использовании узких лазерных пучков в системах передачи информации возникают трудности при совмещении оптических осей передатчика и приемника. В этой связи целесообразно рассмотреть вопрос о распределении средней энергии в плоскости приемника ( $x \neq 0$ ). С удалением приемника от оси пучка происходит монотонное уменьшение средней энергии, обусловленное пространственно-угловой ограниченностью источника излучения (рис. 3). Для заданных оптических толщин прошедший импульс за счет многократного рассеяния достаточно сильно расплывается в горизонтальной плоскости, поэтому не наблюдается заметных изменений в скорости убывания средней энергии при переходе через геометрическую зону пучка ( $x = d$ ). Для всех значений  $x$  справедливо  $\langle E(x) \rangle_{\text{Cu}} > \langle E(x) \rangle_{\text{st}}$  и при увеличении  $x$  от 0 до  $d$   $\langle E(x) \rangle_{\text{st}}$  убывает в  $\sim 1,3$ — $1,7$  раза быстрее, чем  $\langle E(x) \rangle_{\text{Cu}}$ . При  $N=0,7$  отношение  $\langle E(d) \rangle_{\text{Cu}}/\langle E(d) \rangle_{\text{st}} \sim 1,3$ — $1,5$  и увеличивается до 1,6—2,0 при  $N=0,3$ .

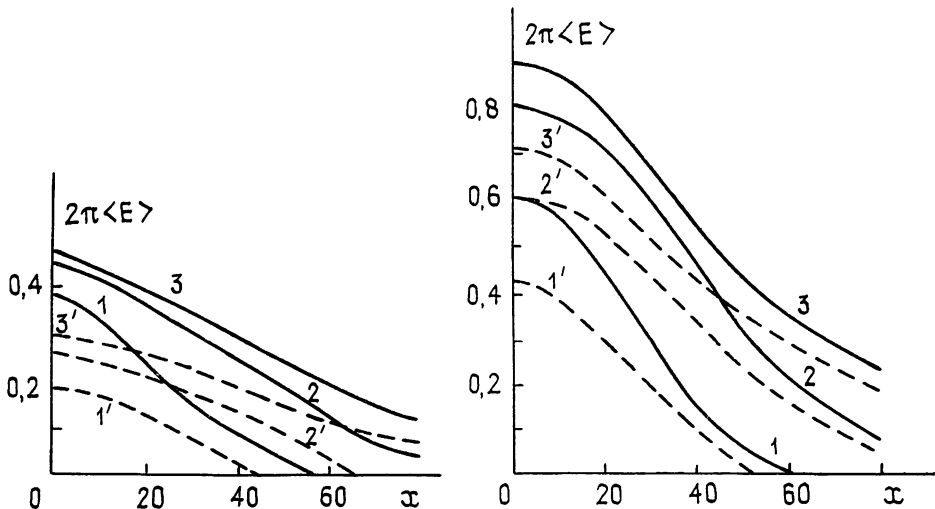


Рис. 3. Распределение  $\langle E \rangle$  в плоскости наблюдения, перпендикулярной оси пучка, в зависимости от  $N$ ,  $\varphi_d$  и типа облаков. В левой части рисунка  $N = 0,3$ , в правой  $N = 0,7$ .

Кривые 1—3 соответствуют  $\varphi_d = 2; 5$  и  $10^\circ$ ,  $\sigma = 20 \text{ км}^{-1}$ ,  $D = 0,25 \text{ км}$ , пунктир — st, сплошные линии — Cu.

**Модельная задача.** При кучевой облачности с увеличением балла возрастает вероятность события, когда в поле зрения приемника находится два и более облаков, и в среднем увеличивается доля выходящего через боковые стороны облака излучения, которое после многократного рассеяния внутри и между соседними облаками попадает на приемник. Суммарная регистрируемая мощность складывается из мощностей излучения, приходящего непосредственно после рассеяния в каждом из облаков, и мощности излучения, обусловленного эффектами многократного рассеяния света между облаками. Для оценки влияния радиационного взаимодействия облаков на временную структуру принимаемого сигнала рассмотрим более простую задачу: разорванную облачность заменим однородным плоскопараллельным облач-

ным слоем, из которого «вырезана» полоса между плоскостями  $\bar{x} = \pm R_0$ , т. е. этот слой состоит из двух полубесконечных в горизонтальном направлении облаков. С учетом симметрии задачи мощность на детекторе равна  $P(l) = 2P_0(l) + P_{12}(l)$ , где  $P_0(l)$  и  $P_{12}(l)$  — мощности от одного облака и за счет радиационного взаимодействия соответственно  $l=l'-H_0$ ,  $l'$  — истинная длина пробега кванта.

На рис. 4 представлены результаты расчета  $P(l)$ ,  $P_{12}(l)$  и составляющих сигнала по кратностям рассеяния  $P_n(l)$ ,  $n=2-4$ . Однократно рассеянное излучение здесь не приведено, так как оно не имеет особенностей по сравнению со случаем сплошного облака, и сосредоточено в узком интервале  $l$ .

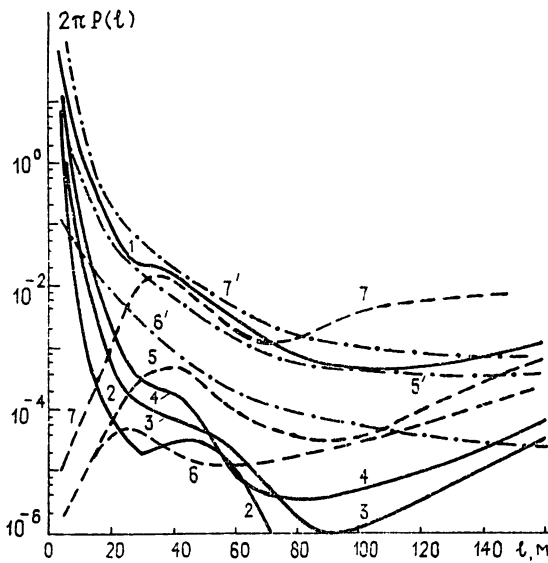


Рис. 4. Зависимость  $P(l)$  от  $R_0$  и  $\sigma$  и оценки вкладов различных его составляющих при  $\varphi_d=3^\circ$ .

Кривая 1 —  $P(l)$ , номера кривых 2—4 соответствуют порядкам кратностей рассеяния  $P_n(l)$  при  $\sigma=20 \text{ км}^{-1}$  и  $R_0=20 \text{ м}$ ; 5—7 —  $P_{12}(l)$ , 5'—7' —  $2P_0(l)$ , 5, 6 и 5', 6' —  $R_0=20 \text{ м}$ ,  $\sigma=20$  и  $40 \text{ км}^{-1}$  соответственно, 7 и 7' —  $\sigma=20 \text{ км}^{-1}$ ,  $R_0=10 \text{ м}$ .

Наличие локальных максимумов и минимумов в  $P_n(l)$  можно объяснить лишь многократным рассеянием света между облаками, что наглядно подтверждается оценками мощности  $P_{12}(l)$ . По сравнению со сплошным облаком характерной особенностью поведения полного сигнала является возрастание  $P(l)$  на заднем фронте импульса. Рис. 4 иллюстрирует также влияние оптической плотности и расстояния между облаками на величины  $2P_0(l)$  и  $P_{12}(l)$ . С увеличением  $\sigma$  и уменьшением  $R_0$  относительная роль многократного рассеяния между облаками увеличивается и радиационное взаимодействие оказывает существенное влияние на суммарную мощность регистрируемого импульса при  $l \geq 20 \div 30 \text{ м}$ .

**Средняя мощность.** С увеличением  $N$  средняя мощность  $\langle P(l) \rangle$  при всех значениях  $l$  сначала возрастает, а для  $N \geq 0,7$  и малых  $l$  начинает убывать (рис. 5). Физическое объяснение этой зависимости было дано при обсуждении изменчивости средней энергии при вариациях  $N$  (см. рис. 2). При малых  $N$  расстояние между облаками в среднем велико и, следовательно, мало многократно рассеянное между облаками излучение, поэтому с возрастанием  $l$  средняя мощность monotonно убывает (кривая 1). С увеличением  $N$  радиационное взаимодействие облаков играет все более существенную роль в формирова-

ния  $\langle P(l) \rangle$  и для  $N > 0,5$  вызывает небольшое увеличение средней мощности на заднем фронте импульса  $l > 110$  м (кривые 2, 3).

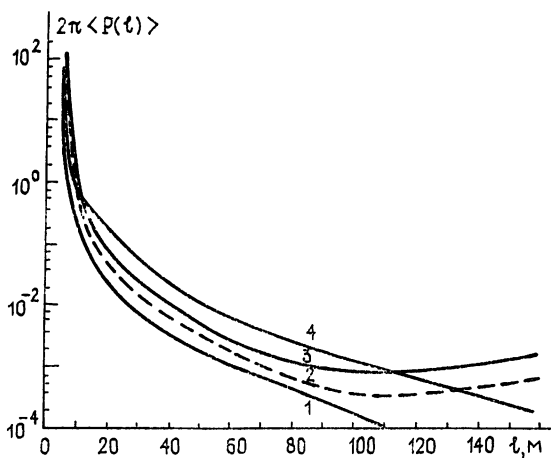


Рис. 5. Зависимость средней мощности  $\langle P(l) \rangle$  от балла облачности  $N$ .

Кривые 1—4 соответствуют  $N = 0,3; 0,5; 0,7$  и  $1$ ,  $\sigma = 20 \text{ км}^{-1}$ ,  $D = 0,25 \text{ км}$ .

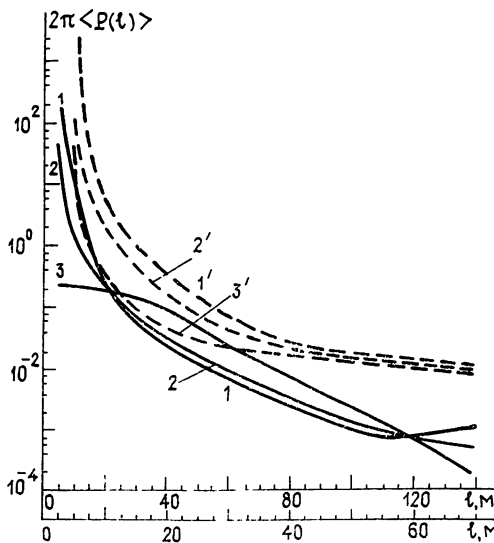


Рис. 6. Влияние оптической плотности среды, модели облаков и вариаций положения приемника относительно оси пучка на  $\langle P(l) \rangle$ , при  $N = 0,7$ ,  $D = 0,25 \text{ км}$ .

Кривая 1 — расчет для модели II с  $A_z \neq 0$ ,  $\sigma = 20 \text{ км}^{-1}$ , 2, 3 — модель I с  $A_z = 0$ ,  $\sigma = 20$  и  $40 \text{ км}^{-1}$  соответственно,  $\varphi_a = 2^\circ$ ; 1'—3' соответствует  $x = 0, 40$  и  $80$  м при  $\varphi_a = 3^\circ$  и  $\sigma = 20 \text{ км}^{-1}$ . Для 1'—3' — нижняя шкала.

С увеличением среднего горизонтального размера облаков параметр  $\gamma$  уменьшается и  $\langle P(l) \rangle_{\text{Cu}}$  стремится к  $\langle P(l) \rangle_{\text{st}}$ , которая рассчитывается на основе формулы (4). Представляют интерес количественные оценки различий между  $\langle P(l) \rangle_{\text{Cu}}$  и  $\langle P(l) \rangle_{\text{st}}$  на начальном участке импульса, где мощности имеют максимальные значения. Расчеты показали, что для  $\sigma = 20 \text{ км}^{-1}$  величина  $\delta(l) = \langle P(l) \rangle_{\text{Cu}} / \langle P(l) \rangle_{\text{st}}$  при  $l = 5$  м равна примерно 2 при  $N = 0,3$  и 1,5 при  $N = 0,7$ . Для тех же значений

$N$  с увеличением  $\sigma$  до  $40 \text{ km}^{-1}$  средняя мощность резко убывает (рис. 6), значения  $\delta \leftrightarrow (5)$  существенно возрастают и составляют около 400 и 150 соответственно. С увеличением  $l$  различия между средними мощностями от кучевой и слоистой облачности уменьшаются:  $\sigma = 20 \text{ km}^{-1} \delta (10) \sim 1,2 \div 1,4$ ,  $\sigma = 40 \text{ km}^{-1} \delta (10) \sim 3 \div 4$ . Анализ полученных результатов позволяет сделать вывод о том, что основные по энергетике различия между  $\langle P(l) \rangle_{\text{Cu}}$  и  $\langle P(l) \rangle_{\text{st}}$  имеют место на начальном участке импульса,  $l \leqslant 10 \div 15 \text{ m}$ .

Все представленные выше результаты получены в модели I — при  $A_z=0$  и  $p=N$ . Рассмотрим теперь модель II:  $A_x=A_y=A_z=A$ ,  $p$  и  $N$  связаны соотношением (2). В данной модели облака имеют не только случайные горизонтальные размеры, но и случайные толщину и высоту основания (в пределах облачного слоя). Согласно (2)  $p < N$  и, следовательно, при одинаковых  $N$  в модели II в среднем содержится меньше облачного вещества, чем в модели I. При заданных параметрах задачи ( $N=0,7$ ,  $p=0,35$ ) это приводит к тому, что в модели II средняя мощность при малых  $l$  больше, чем в модели I. Отметим, что в модели I вклад в  $\langle P(l) \rangle$  однократного рассеяния внутри облака не превышает 35%, тогда как в модели II он достигает 60%.

При удалении от оси пучка происходит заметный спад мощности на начальном фронте сигнала (рис. 6). Это связано со снижением вклада в  $\langle P(l) \rangle$  рассеяния низкой (при  $x=80 \text{ m}$  и  $\varphi_d=3^\circ$ , однократно рассеянный свет на приемник не попадает) кратности и возрастанием вклада рассеяния более высоких кратностей, а на формирование последних требуется больше времени. Изменение при возрастании  $l$  соотношения между относительной ролью различных кратностей рассеяния приводит к заметному увеличению  $\langle P(l) \rangle$  в области  $20 \ll l < 120 \text{ m}$ . Что касается вклада радиационного взаимодействия облаков в  $\langle P(l) \rangle$ , то при увеличении  $x$  оно, по-видимому, оказывает доминирующее влияние на среднюю мощность при больших значениях  $l$ , чем на оси пучка. На периферии пучка средние мощности сигнала от кучевой и слоистой облачности отличаются приблизительно в 1,5—2 раза. Относительная погрешность вычисления средней энергии — около 2—3%, а средней мощности при  $l \sim 100 \div 150 \text{ m}$  — 20—30%.

## ЛИТЕРАТУРА

- Глазов Г. Н., Титов Г. А. // Изв. вузов. Радиофизика. 1980. Т. 23. № 4. С. 41.
- Скоринов В. Н., Титов Г. А. // Изв. АН СССР. Сер. ФАО. 1984. Т. 20. № 5. С. 372.
- Скоринов В. Н., Титов Г. А. // Изв. вузов. Радиофизика. 1983. Т. 26. № 8. С. 971.
- Титов Г. А. // Изв. АН СССР. Сер. ФАО. 1985. Т. 21. № 9. С. 940.
- Скоринов В. Н., Титов Г. А. Алгоритм расчета методом Монте-Карло средней интенсивности излучения в разорванной облачности. Методы и алгоритмы статистического моделирования. — Новосибирск: ВЦ СО АН СССР, 1983. С. 91.
- Дейрменджян Д. Рассеяние электромагнитного излучения сферическими полидисперсными частицами. — М.: Мир, 1971. С. 165.

Институт оптики атмосферы  
СО АН СССР

Поступила в редакцию  
9 июня 1987 г.

## MEAN CHARACTERISTICS OF LASER RADIATION PROPAGATING THROUGH BROKEN CLOUDINESS

M. M. Krekova, G. A. Titov

The problem on laser radiation propagation through broken cloudiness as a stochastically inhomogeneous medium is considered. Using a simulation problem as an example, it is shown, that for large optical depths and small distances between the clouds, radiation clouds interaction causes qualitative variations in the signal time structure: the presence of local maximum and the power increase at the trailing edge of a pulse. It should be noted that the neglect of the finite horizontal cumulus sizes results in large errors at determining the mean energy and power of propagated laser radiation.